

# Печать металлопорошковыми композициями: возможности и перспективы применения в приборостроении

УДК 67.02 | ВАК 05.27.06

А. Нисан, к. т. н.<sup>1</sup>

3D-печать металлами посредством селективного лазерного сплавления – перспективная технология для изготовления различных изделий [1]. Среди основных ее достоинств – гибкость и новые возможности проектирования, снижение массы и материалоемкости, сокращение сроков разработки и выхода на рынок и др. Одна из областей, где наиболее полно раскрываются преимущества и возможности 3D-печати металлами – авиакосмическое приборостроение.

Варианты применения печати металлопорошковыми композициями в авиакосмическом приборостроении многообразны (рис. 1). Рассмотрим различные виды изделий, изготавливаемых по технологии селективного лазерного сплавления.

## СВЧ-ТРАКТЫ

**Волноводы.** Переход на печать волноводов дает ряд преимуществ по сравнению с традиционными

технологиями: уменьшение количества соединений, уплотнений, крепежа, упрощение сборки, снижение массы, повышение надежности системы в целом (рис. 2). Конечно, шероховатость поверхности канала (Ra) непосредственно после печати гораздо выше, чем при гальванопластике, до двух-трех десятков микрон. Однако гидроабразивная обработка (прокачка) потоком суспензии под давлением позволяет снизить ее до значений менее 1 мкм [2].

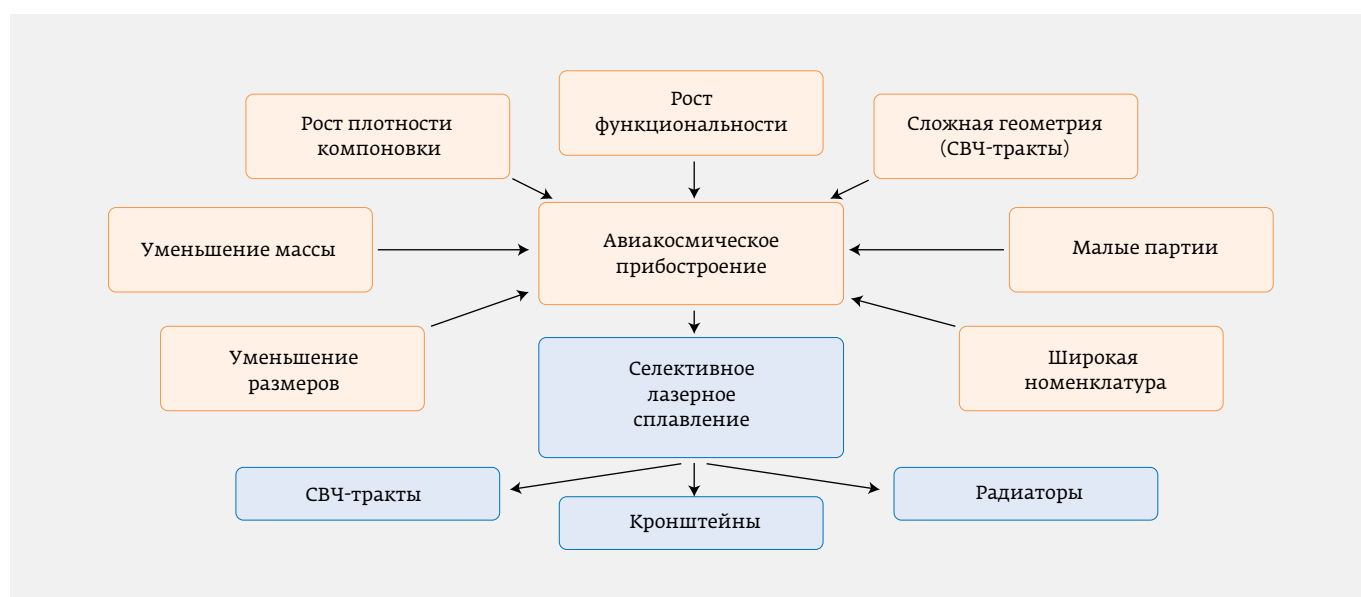
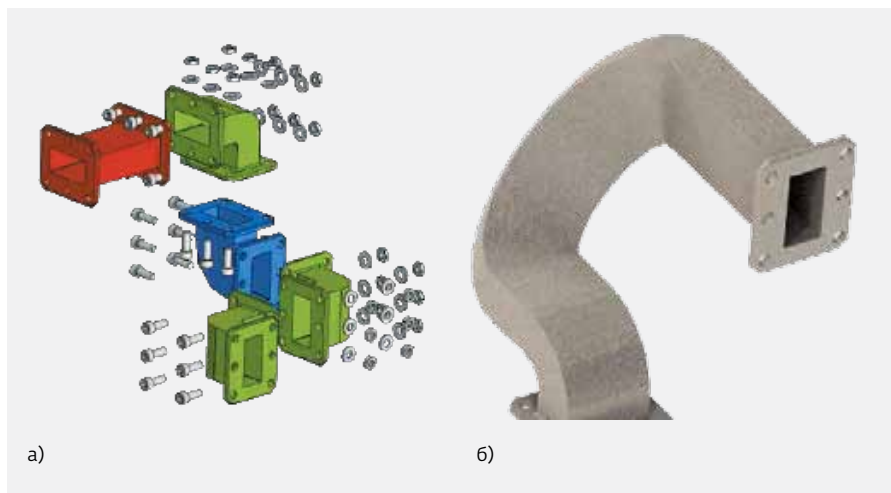


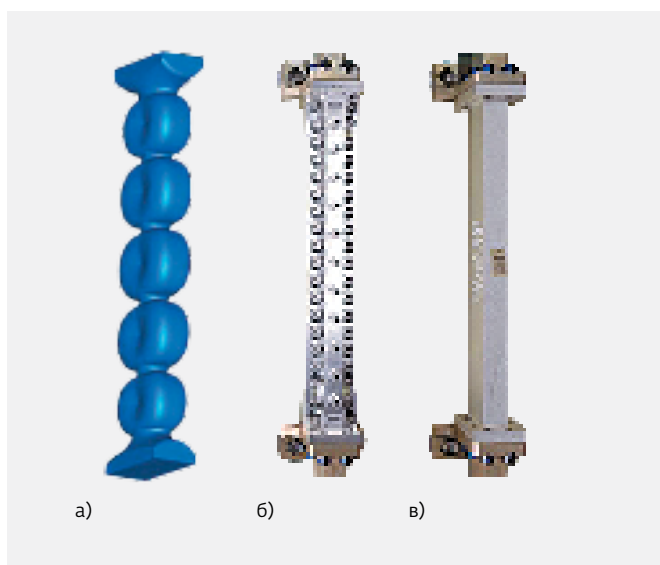
Рис. 1. Возможные варианты применения селективного лазерного сплавления в приборостроении

<sup>1</sup> ООО «Остек-СМТ», начальник отдела технической поддержки и разработки направления цифровых производственных технологий, 3d@ostec-group.ru.



**Рис. 2.** Волновод сложной формы: а – модель сборочного узла, изготавливаемого на основе традиционных технологий, б – модель напечатанного волновода с аналогичной формой канала. *Источник: Renishaw*

**Фильтры.** В 2017 году компания Airbus Defense and Space закончила испытания, имитирующие условия запуска и применения на орбите полосовых СВЧ-фильтров, разработанных для коммерческих телекоммуникационных спутников (рис. 3). Если раньше внутренние полости таких фильтров изготавливались путем фрезерования двух заготовок, которые затем соединялись многочисленными винтами, то селективное лазерное сплавление позволяет получить



**Рис. 3.** Полосовой фильтр, полоса пропускания 14,00-14,25 ГГц: а – 3D-модель внутренней полости (канала) фильтра, б – фильтр, изготовленный путем фрезерования, в – напечатанный фильтр. *Источник: Airbus Defense and Space*

цельную деталь, отказаться от сборочных операций и уменьшить массу на 50% – до 60 г. Более того, форма полости напечатанных фильтров может быть ближе к оптимальной, разработанной при моделировании для обеспечения максимальной эффективности, и недостижимой в случае механической обработки, при этом компенсируется бóльшая шероховатость поверхности аддитивных изделий. Так, ослабление в полосе пропускания\* приведенного в качестве примера фильтра не превышает 0,2 дБ при требуемом по ТЗ  $\leq 0,35$  дБ.

Каков экономический эффект внедрения таких фильтров? Телекоммуникационный спутник типа

Eutelsat KA-SAT, созданный компанией Airbus Defense and Space, содержит около 500 фильтров. При стоимости доставки 1 кг груза на орбиту 20 000 евро ее снижение при уменьшении массы фильтров в два раза составит 600 000 евро.

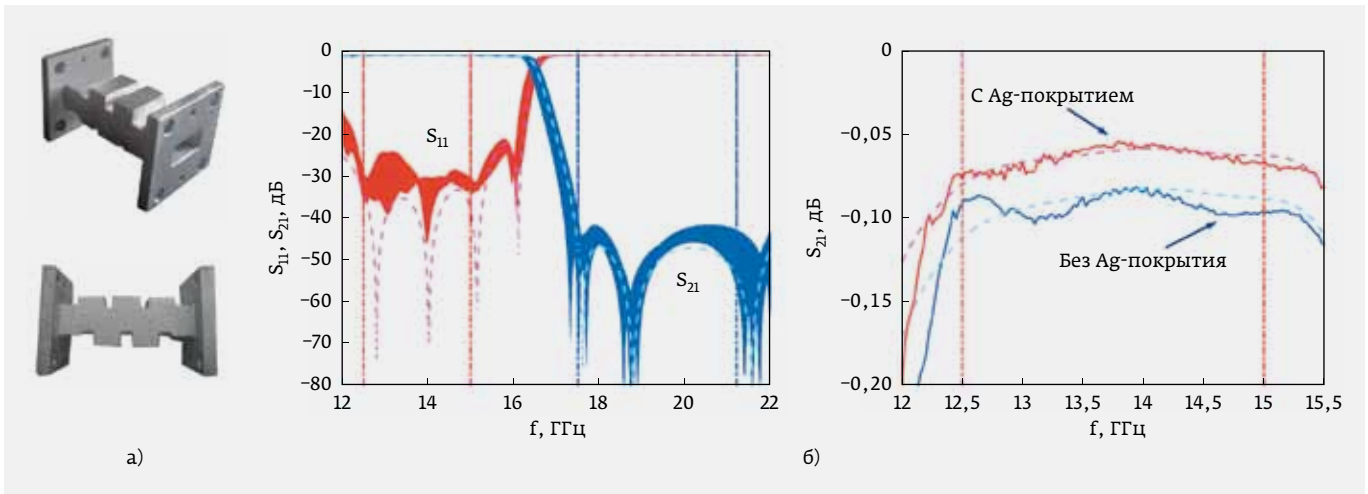
Для иллюстрации технических характеристик, которые достижимы для печатных фильтров, приведем технические требования к другому СВЧ-фильтру (см. таблицу), его фотографии и результаты измерения коэффициента отражения от входа и коэффициента передачи (рис. 4).

**Компараторы.** СВЧ-компараторы широко распространены в радиолокационных системах для сравнения сигналов с приемных антенн при определении

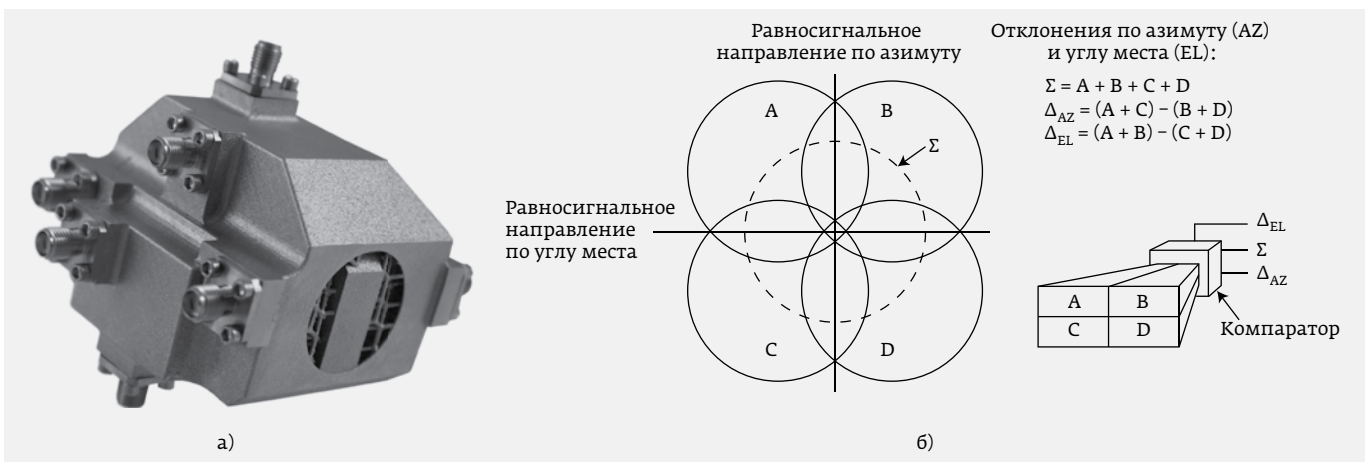
Требования к фильтру. *Источник: CNR-IEIIT*

Параметр	Значение
Полоса пропускания, ГГц	12,5-15,0
Ослабление в полосе пропускания, дБ	$\leq 0,15$
Возвратные потери ( $10 \lg(P_{пад.}/P_{отр.})$ ), дБ	$\geq 24$
Полоса заграждения, ГГц	17,5-21,2
Ослабление в полосе заграждения, дБ	$\geq 40$
Габариты, мм	20 × 20 × 48
Масса, г	<25
Материал	Al сплав

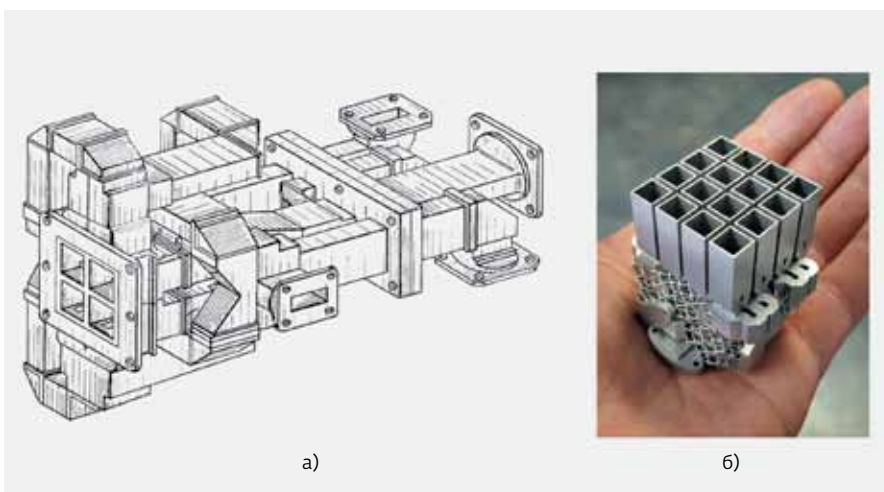
\*  $10 \lg(P_1/P_2)$ , где  $P_1$  – мощность на нагрузке без фильтра,  $P_2$  – мощность на нагрузке с фильтром.



**Рис. 4.** Фильтр с полосой пропускания 12,5-15,0 ГГц: а - фото, б - S-параметры:  $S_{11}$  - коэффициент отражения от входа,  $S_{21}$  - коэффициент передачи (на правом графике показан участок левого графика в увеличенном масштабе). Сплошные линии - результаты измерений (на шести образцах), пунктирные - результаты моделирования. *Источник: CNR-IEIT*



**Рис. 5.** Напечатанный компаратор (а) и схема, поясняющая использование компаратора для определения направления на цель (б). *Источник: Optisys*



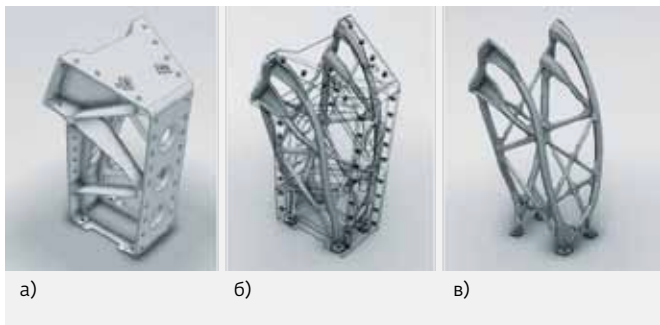
**Рис. 6.** Антенная решетка Ка-диапазона с компараторами: а - изначальный эскиз сборной конструкции, изготавливаемой по традиционным технологиям, б - цельная деталь, полученная путем селективного лазерного сплавления. *Источник: Optisys*



**Рис. 7.** Кронштейн из сплава Ti6Al4V для монтажа антенны на спутнике. *Источник: Thales Alenia Space*

координат цели на основе вычисления отклонения цели от равносигнального направления. Как это работает? Зондирующий импульс отражается от цели и принимается несколькими антеннами: минимум двумя – в азимутальной плоскости и двумя – в угломестной (по углу возвышения) (рис. 5). При фазовом методе пеленгации, то есть при сравнении фаз принятых сигналов, антенны параллельны равносигнальному направлению и размещены таким образом, чтобы расстояние между центрами антенн не превышало диаметра каждой из них. При амплитудном методе пеленгации, когда сравниваются амплитуды принятых сигналов, антенны расположены не параллельно, а под небольшим углом к равносигнальному (центральному) направлению. Если разность принятых сигналов нулевая, то антенная решетка ориентирована в равносигнальном направлении, точно на цель. В противном случае по величине разности сигналов определяются углы отклонения цели от равносигнального направления по азимуту и углу места.

**Подсистемы.** При перепроектировании нескольких элементов СВЧ-трактов, объединенных в одну подсистему, преимущества селективного лазерного сплавления раскрываются еще более полно.



**Рис. 8.** Кронштейн из алюминиевого сплава для монтажа антенны на спутнике Eurostar E3000: а – изначальная модель, б – наложение изначальной и перепроектированной моделей, в – перепроектированная модель. *Источник: Airbus Defence and Space*

Например, на рис. 6а приведен эскиз антенной решетки Ка-диапазона 27,5–31,0 ГГц с компараторами и соединяющими их волноводами, ориентированной на изготовление по традиционным технологиям. Перепроектирование с учетом возможностей аддитивных технологий позволило уменьшить количество деталей со ста до одной (рис. 6б), снизить массу в 20 раз – до 40 г, а также сократить время от начала разработки до выпуска первой партии с 11 до 2 мес.

### КРОНШТЕЙНЫ

Перепроектирование кронштейнов с применением бионического дизайна и сетчатых структур позволяет, с одной стороны, обеспечить необходимую прочность и жесткость конструкции, а с другой – существенно снизить массу и сократить сроки выполнения заказа. Например, напечатанный из сплава Ti6Al4V кронштейн для антенны геостационарного телекоммуникационного спутника (рис. 7) на 25% легче традиционного аналога, а время от размещения заказа до отгрузки сократилось с 10 до 4–5 недель.

Другой пример – сертифицированный в 2015 году компанией Airbus Defence and Space кронштейн для антенны спутника Eurostar E3000. Если до перепроектирования кронштейн собирался из четырех деталей на 44 заклепки, то напечатанный кронштейн – это одна деталь, масса которой на 35% ниже, а жесткость – на 40% выше (рис. 8).

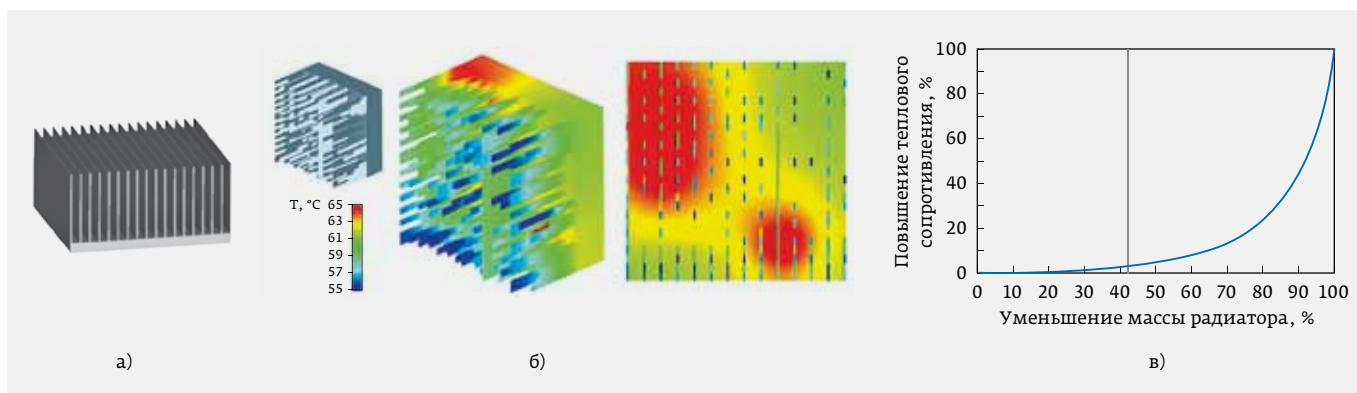
### РАДИАТОРЫ

Как 3D-печать металлами позволяет повысить эффективность применения радиаторов? Во-первых, благодаря возможности изготовления компактных



**Рис. 9.** Радиаторы с большой площадью поверхности в малом объеме. *Источники: Mentor Graphics, Renishaw*





**Рис. 10.** Пластинчатый радиатор (а), результаты теплового моделирования радиатора, в котором материал удален из участков с низкой тепловой нагрузкой (б), зависимость повышения теплового сопротивления по мере уменьшения массы радиатора (в). *Источник: Mentor Graphics*

радиаторов с большой площадью поверхности (рис. 9). Во-вторых, аддитивные технологии применимы для производства специализированных радиаторов, в которых материал распределен исходя из тепловой нагрузки (рис. 10). Рассмотрим конструкцию,



**Рис. 11.** Установка селективного лазерного сплавления Renishaw AM400 в лаборатории ООО «Остек-СМТ»

в которой пластинчатый радиатор (рис. 10а) монтируется на компонент с двумя участками, активно выделяющими тепло, например на двухкристальный модуль. В этом случае ребра радиатора, расположенные не над кристаллами, особенно в «зеленой» зоне на рис. 10б, будут слабо участвовать в теплоотводе. И если удалить фрагменты ребер из участков с низкой тепловой нагрузкой, то, согласно результатам теплового моделирования, можно уменьшить массу радиатора в два раза при незначительном повышении его теплового сопротивления: всего лишь на 5%.

Рассмотренные примеры демонстрируют возможность и актуальность применения селективного лазерного сплавления в авиакосмическом приборостроении. Конечно, полноценное использование данной технологии требует перепроектирования изделия, если оно разработано под традиционные методики. После перепроектирования потребуется изготовление и испытания опытных образцов, причем желательно из отечественных материалов. Поэтому в феврале 2018 года оборудование лаборатории ООО «Остек-СМТ» пополнилось установкой селективного лазерного сплавления Renishaw AM400 (рис. 11) для отработки технологии печати на отечественных порошках, печати макетов и опытных образцов. ООО «Остек-СМТ» приглашает ознакомиться с 3D-печатью металлами на практике.

## ЛИТЕРАТУРА

1. **Нисан А.** Цифровые технологии производства: печать металлопорошковыми композициями // Вектор высоких технологий. 2017. № 5. С. 30–41.
2. **Xuanping Wang, Shichong Li, Youzhi Fu, Hang Gao.** Finishing of Additively Manufactured Metal Parts by Abrasive Flow Machining // Proceedings of the 27th Annual International Solid Freeform Fabrication Symposium – An Additive Manufacturing Conference. 2016. P. 2470.